

# Un calcul précis du rayonnement atmosphérique par la méthode de Monte-Carlo pour le dimensionnement des installations solaires

Yaniss NYFFENEGGER-PÉRÉ<sup>a</sup>, Stéphane BLANCO<sup>b</sup>, Richard FOURNIER<sup>c</sup>, Mouna EL HAFI<sup>d</sup>

<sup>a,b,c</sup>laboratoire Plasma et Conversion d'Énergie (LAPLACE), UMR 5213 CNRS, Université Toulouse III, France

<sup>d</sup>laboratoire RAPSODEE, UMR CNRS 5302, Mines Albi, Campus Jarlard, 81013 Albi CT Cedex 09, France

**Journées Nationales sur l'Énergie Solaire**

27 Août 2021



Université  
de Toulouse



**IMT Mines Albi-Carmaux**  
École Mines-Télécom

Dans le contexte de la transition énergétique, les modélisations couplant la dimension énergétique au sol et la météorologie locale sont aujourd'hui au centre de très nombreuses études. La météorologie impacte :

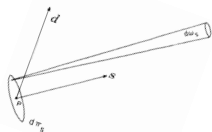
- Le flux solaire incident :
  - dimensionnement des centrales solaires à concentration en fonction de la météorologie
  - stratégie de commande en fonction des prédictions de l'évolution climatique sur de longues périodes
- Le rayonnement infrarouge
  - rendement d'un panneau photovoltaïque fonction de sa température
  - stabilité atmosphérique, brouillard, îlot de chaleur
- Le rayonnement solaire et thermique dans l'atmosphère est modélisé par le transfert radiatif



**Figure:** Illustrations des domaines d'applications : couplage toit végétal - panneaux photovoltaïques, tour à concentration solaire, étude énergétique d'une ville.

On se propose d'élaborer une méthodologie pour obtenir des résultats de référence sur un calcul de flux incident au sol.

- Une grandeur caractéristique du transfert radiatif : la luminance
  - La luminance,  $L_\nu(\mathbf{x}, \boldsymbol{\omega})$ , est une densité de flux radiative en un point,  $\mathbf{x}$ , dans une direction  $\boldsymbol{\omega}$  et pour une fréquence donnée  $\nu$ .



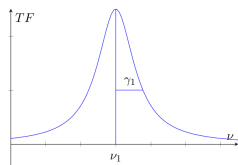
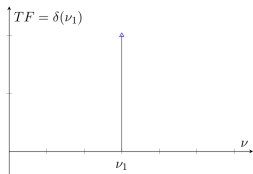
- Le transfert radiatif est basé sur l'ETR (Équation du Transfert Radiatif):

$$\begin{aligned}\boldsymbol{\omega} \cdot \nabla_r L_\nu(\mathbf{x}, \boldsymbol{\omega}) &= -k_{ext,\nu}(\mathbf{x})L_\nu(\mathbf{x}, \boldsymbol{\omega}) \\ &+ k_{s,\nu}(\mathbf{x}) \int_{4\pi} \phi(\boldsymbol{\omega}, \boldsymbol{\omega}') L_\nu(\mathbf{x}, \boldsymbol{\omega}') d\boldsymbol{\omega} \\ &+ S(\mathbf{x}, \boldsymbol{\omega}).\end{aligned}$$

- Terme d'extinction par absorption et diffusion  $k_{ext,\nu}(\mathbf{x}) = k_{a,\nu}(\mathbf{x}) + k_{s,\nu}(\mathbf{x})$
- Terme source de diffusion :  $k_{s,\nu}(\mathbf{x}) \int_{4\pi} \phi(\boldsymbol{\omega}, \boldsymbol{\omega}') L_\nu(\mathbf{x}, \boldsymbol{\omega}', t) d\boldsymbol{\omega}$
- Terme source : dans l'atmosphère terrestre avec l'hypothèse d'équilibre thermodynamique local (LTE), le terme source vaut  $S(\mathbf{x}, \boldsymbol{\omega}, t) = k_{a,\nu}(\mathbf{x}) L_\nu^{eq}(T(\mathbf{x}))$ .  $L_\nu^{eq}(T(\mathbf{x}))$  est la luminance d'équilibre du corps noir.
- Conditions aux limites : Le sol considéré comme un corps noir à une température  $T_{sol}$  et la luminance incidente du Soleil au sommet de l'atmosphère.

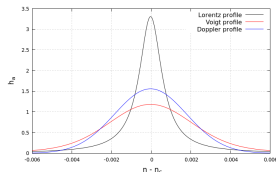
- L'absorption par les gaz

- Particule à deux niveaux énergétiques  $E_1$  et  $E_2$ : un atome ou molécule ne peut qu'absorber ou émettre des paquets de photons (quanta) à une énergie  $\Delta E = E_2 - E_1 = h\nu_1$
- Une transition moléculaire entre le niveau d'énergie  $E_1$  et  $E_2$  peut être représentée comme un dirac sur le domaine fréquentiel :



- Élargissement des raies : effet collisionnel et Doppler

- Profil de raie de Lorentz : collisions entre molécules
- Profil de raie de Doppler : prends compte de la vitesse des molécules
- Profil de raie de Voigt : convolution de Lorentz et Doppler

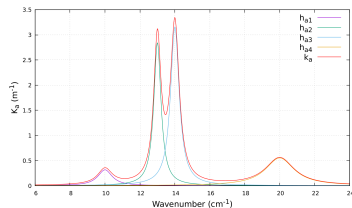


- Une raie d'absorption est donnée par :  $h_{a,\nu} = \rho S_j f(\nu - \nu_c, \gamma_c)$  avec  $\int h_{a,\nu} d\nu = S_j$  l'intensité de la raie. Le centre de raie, la largeur de raie ainsi que son intensité sont calculés à l'aide de base spectroscopique (HITRAN, GEISA, ...).

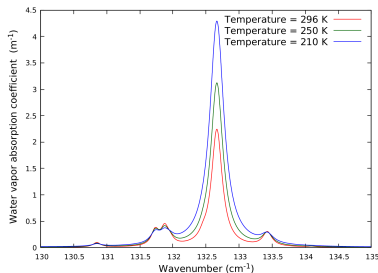
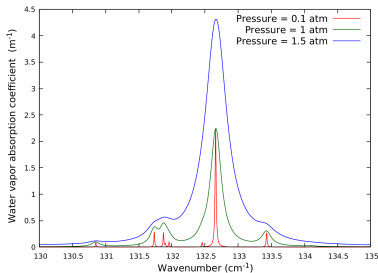
# Transfert radiatif et absorption atmosphérique

- Notion de spectres de raies :

Un nombre important de transitions moléculaires,  $N_t$ , caractérise l'absorption d'une molécule. On définit le coefficient d'absorption de cette molécule comme la somme de toutes ces transitions moléculaires :  $k_{a,\nu} = \sum_j^{N_t} h_{a,j,\nu}$ .

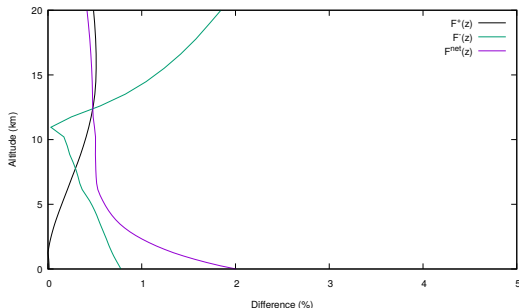


- Forte dépendance des spectres aux paramètres thermodynamiques et à la fréquence



Les modèles raies par raies sont coûteux à estimer en transfert radiatif car il faut estimer le coefficient d'absorption pour toutes les fréquences et à toutes les positions du milieu.

- Des modèles approximatifs moins coûteux existent :
  - K-distribution : statistique sur la distribution du coefficient d'absorption.
  - Modèles à bandes étroites : Reposent souvent sur le fait que la luminance d'équilibre est constante sur une plage étroite en fréquence (de l'ordre de  $25\text{cm}^{-1}$ )
  - Modèles globaux : SLW (Spectral Line Weighted Sum of Gray Gases), ADF (Absorption Distribution Function) et FSK (Full-Spectrum Correlated-k Distribution).
- Inconvénient des modèles approximatifs :
  - On estime l'erreur introduite par l'utilisation d'un modèle en K-corrélés sur un flux de l'ordre de quelques pourcents :



- Les modèles approximatifs dépendent souvent des raies par raies et doivent être recalculés pour chaque changement d'espèces moléculaire ou conditions thermodynamique du milieu.

- A partir de l'ETR on peut écrire :

$$\boldsymbol{\omega} \cdot \nabla_r L_\nu(\mathbf{x}, \boldsymbol{\omega}) = -k_{ext,\nu} L_\nu(\mathbf{x}, \boldsymbol{\omega}) + k_{ext,\nu} \left[ P_a L_\nu^{eq}(T(\mathbf{x})) + P_s \int_{4\pi} \phi(\boldsymbol{\omega}, \boldsymbol{\omega}') L_\nu(\mathbf{x}, \boldsymbol{\omega}', t) d\boldsymbol{\omega}' \right]$$

- Avec la probabilité,  $P_a = k_{a,\nu}/k_{ext,\nu}$ , d'être absorbé et  $P_s = k_{s,\nu}/k_{ext,\nu}$  d'être diffusé.
- Cette expression différentielle se traduit en formulation intégrale. La luminance au point  $x_0$  et dans la direction  $\boldsymbol{\omega}_0$  est donnée par :

$$L_\nu(\mathbf{x}_0, \boldsymbol{\omega}_0) = \int_0^{+\infty} dl \underbrace{k_{ext,\nu} \exp(-\int k_{ext,\nu} dl')}_{p_L(l)} \left\{ P_a(\mathbf{x}_1) L_\nu^{eq}(\mathbf{x}_1) + P_s(\mathbf{x}_1) \int_{4\pi} \phi(\boldsymbol{\omega}_0, \boldsymbol{\omega}_1) L_\nu(\mathbf{x}_1, \boldsymbol{\omega}_1) d\boldsymbol{\omega}' \right\}$$

## Problème :

Il est impossible d'échantillonner exactement une longueur,  $l$ , selon la densité de probabilité définie par  $p_L(l) = k_{ext,\nu} \exp(-\int k_{ext,\nu} dl')$

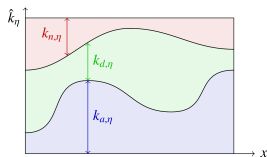
- Contournement du problème de l'hétérogénéité du milieu par la méthode des collisions nulles : introduction d'un majorant spatial [Galtier et al, Integral formulation of null-collision Monte Carlo algorithms, (2013), JQSRT] .

$$\hat{k}_\nu = k_{a,\nu}(\mathbf{x}) + k_{s,\nu}(\mathbf{x}) + k_{n,\nu}(\mathbf{x})$$

- Reformulation de l'ETR différentielle :

$$\boldsymbol{\omega} \cdot \nabla_{\mathbf{r}} L_\nu(\mathbf{x}, \boldsymbol{\omega}) = -\hat{k}_\nu L_\nu(\mathbf{x}, \boldsymbol{\omega}) + \hat{k}_\nu \left[ P_N L_\nu(\mathbf{x}, \boldsymbol{\omega}) + P_a L_\nu^{eq}(T(\mathbf{x})) + P_s \int_{4\pi} \phi(\boldsymbol{\omega}, \boldsymbol{\omega}') L_\nu(\mathbf{x}, \boldsymbol{\omega}', t) d\boldsymbol{\omega}' \right]$$

$$P_N = \frac{k_{n,\nu}(\mathbf{x})}{\hat{k}_\nu} ; P_s = \frac{k_{s,\nu}(\mathbf{x})}{\hat{k}_\nu} ; P_a = \frac{k_{a,\nu}(\mathbf{x})}{\hat{k}_\nu}$$



- Formulation intégrale en collisions nulles :

$$L_\nu(\mathbf{x}_0, \boldsymbol{\omega}_0) = \int_0^{+\infty} dl \underbrace{\hat{k}_\nu \exp(-\hat{k}_\nu l)}_{p_L(l)} \left\{ P_a(\mathbf{x}_1) L_\nu^{eq}(\mathbf{x}_1) + P_s(\mathbf{x}_1) \int_{4\pi} \phi(\boldsymbol{\omega}_0, \boldsymbol{\omega}_1) L_\nu(\mathbf{x}_1, \boldsymbol{\omega}_1) d\boldsymbol{\omega} + P_N(\mathbf{x}) L_\nu(\mathbf{x}_1, \boldsymbol{\omega}_0) \right\}$$

- A partir de l'équation précédente (sans diffusion par simplicité) :

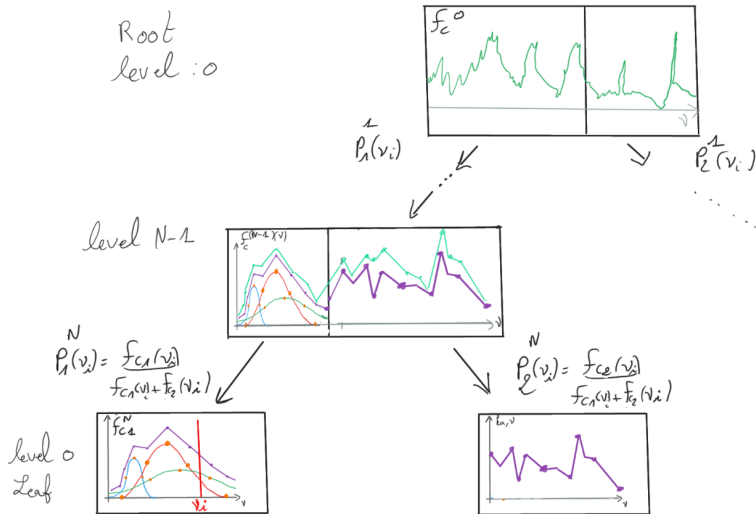
$$L_\nu(\mathbf{x}_0, \boldsymbol{\omega}_0) = \int_0^{+\infty} dl p_L(l) \left\{ \frac{k_{a,\nu}(\mathbf{x}_1)}{\hat{k}_\nu} L_\nu^{eq}(\mathbf{x}_1) + \frac{k_{n,\nu}(\mathbf{x}_1)}{\hat{k}_\nu} L_\nu(\mathbf{x}_1, \boldsymbol{\omega}_0) \right\}$$

l'expression du coefficient d'absorption,  $k_{a,\nu} = \sum_j^{N_t} h_{a,j,\nu}$ , peut être directement écrite et la probabilité  $P_{J,\nu}(j)$  de choisir une transition est introduite.

$$L_\nu(\mathbf{x}_0, \boldsymbol{\omega}_0) = \int_0^{+\infty} dl p_L(l) \left\{ \sum_{j=1}^{N_t(s)} P_{J,\nu}(j) \left( P_{a,\nu,j}(\mathbf{x}_1) L_\nu^{eq}(T(\mathbf{x}_1)) + (1 - P_{a,\nu,j}(\mathbf{x}_1)) L_\nu(\mathbf{x}_1, \boldsymbol{\omega}_0) \right) \right\}$$

- Toute la difficulté est de trouver un jeu de probabilité qui s'approche de l'idéale (première proposition par Galtier [Galtier et al, Radiative transfer and spectroscopic databases: A line-sampling monte carlo approach, JQSRT, (2016)]) .

- Travail en collaboration avec l'IRIT : estimer le jeu de probabilité  $P_{J,\nu}(j)$



- Le flux moyen au sol en  $W/m^2$  s'exprime comme :

$$\varphi(\mathbf{x}_{sol}) = \int d\boldsymbol{\omega}_{sun} (\boldsymbol{\omega} \cdot \mathbf{n}) \int_0^{+\infty} d\nu L_\nu(\mathbf{x}_0, \boldsymbol{\omega})$$

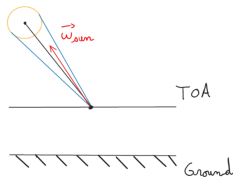
$$\begin{aligned} \varphi(\mathbf{x}_{sol}) = & \int d\boldsymbol{\omega}_{sun} (\boldsymbol{\omega} \cdot \mathbf{n}) \int_0^{+\infty} d\nu \int_0^{+\infty} \hat{k}_\nu \exp(-\hat{k}_\nu \sigma) d\sigma \left\{ \right. \\ & \left[ \sum_{s=1}^{N_s} P_S(s) \left[ P_{0,\nu} \right. \right. \\ & \left. \left. \left\{ \sum_{j=1}^{Nt(s)} P_{J,\nu}(j) \left( P_{a,\nu,j}[0] + (1 - P_{a,\nu,j}) L_\nu(\mathbf{x}_1, \boldsymbol{\omega}) \right) \right\} \right. \right. \\ & \left. \left. + (1 - P_{0,\nu}) \int_{4\pi} \phi_i(\boldsymbol{\omega}, \boldsymbol{\omega}') L_\nu(\mathbf{x}_1, \boldsymbol{\omega}') d\boldsymbol{\omega}(\boldsymbol{\omega}') \right] \right] \mathcal{H}(\mathbf{x}_1 \in \text{atmosphere}) \\ & + L_\nu^{eq}(T_{sun}) \mathcal{H}(\mathbf{x}_1 \in \text{ground}) \\ & \left. + [0] \mathcal{H}(\mathbf{x}_1 \in \text{space}) \right\} \end{aligned}$$

# Transfert radiatif et Monte-Carlo : expression du flux au sol

- Le flux moyen au sol en  $W/m^2$  s'exprime comme :

$$\varphi(\mathbf{x}_{sol}) = \int d\omega_{sun} (\omega \cdot \mathbf{n}) \int_0^{+\infty} d\nu L_\nu(\mathbf{x}_0, \omega)$$

$$\begin{aligned} \varphi(\mathbf{x}_{sol}) = & \int d\omega_{sun} (\omega \cdot \mathbf{n}) \int_0^{+\infty} d\nu \int_0^{+\infty} \hat{k}_\nu \exp(-\hat{k}_\nu \sigma) d\sigma \left\{ \right. \\ & \left[ \sum_{s=1}^{N_s} P_S(s) \left[ P_{0,\nu} \right. \right. \\ & \left. \left. \left\{ \sum_{j=1}^{Nt(s)} P_{J,\nu}(j) \left( P_{a,\nu,j}[0] + (1 - P_{a,\nu,j}) L_\nu(\mathbf{x}_1, \omega) \right) \right\} \right] \right. \\ & \left. + (1 - P_{0,\nu}) \int_{4\pi} \phi_i(\omega, \omega') L_\nu(\mathbf{x}_1, \omega') d\omega(\omega') \right] \mathcal{H}(\mathbf{x}_1 \in \text{atmosphere}) \\ & + L_\nu^{eq}(T_{sun}) \mathcal{H}(\mathbf{x}_1 \in \text{ground}) \\ & \left. + [0] \mathcal{H}(\mathbf{x}_1 \in \text{space}) \right\} \end{aligned}$$

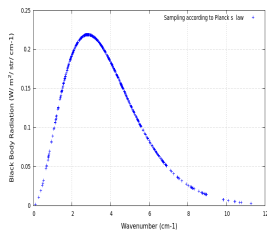


# Transfert radiatif et Monte-Carlo : expression du flux au sol

- Le flux moyen au sol en  $W/m^2$  s'exprime comme :

$$\varphi(\mathbf{x}_{sol}) = \int d\omega_{sun} (\omega \cdot \mathbf{n}) \int_0^{+\infty} d\nu L_\nu(\mathbf{x}_0, \omega)$$

$$\varphi(\mathbf{x}_{sol}) = \int d\omega_{sun} (\omega \cdot \mathbf{n}) \int_0^{+\infty} d\nu \int_0^{+\infty} \hat{k}_\nu \exp(-\hat{k}_\nu \sigma) d\sigma \left\{ \begin{array}{l} \left[ \sum_{s=1}^{N_s} P_S(s) \left[ P_{0,\nu} \right. \right. \\ \left. \left. \left\{ \sum_{j=1}^{Nt(s)} P_{J,\nu}(j) \left( P_{a,\nu,j}[0] + (1 - P_{a,\nu,j}) L_\nu(\mathbf{x}_1, \omega) \right) \right\} \right. \right. \\ \left. \left. + (1 - P_{0,\nu}) \int_{4\pi} \phi_i(\omega, \omega') L_\nu(\mathbf{x}_1, \omega') d\omega(\omega') \right] \right] \mathcal{H}(\mathbf{x}_1 \in \text{atmosphere}) \\ + L_\nu^{eq}(T_{sun}) \mathcal{H}(\mathbf{x}_1 \in \text{ground}) \\ + [0] \mathcal{H}(\mathbf{x}_1 \in \text{space}) \end{array} \right\}$$

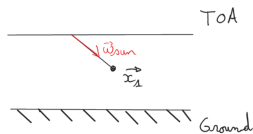


# Transfert radiatif et Monte-Carlo : expression du flux au sol

- Le flux moyen au sol en  $W/m^2$  s'exprime comme :

$$\varphi(\mathbf{x}_{sol}) = \int d\omega_{sun} (\omega \cdot \mathbf{n}) \int_0^{+\infty} d\nu L_\nu(\mathbf{x}_0, \omega)$$

$$\varphi(\mathbf{x}_{sol}) = \int d\omega_{sun} (\omega \cdot \mathbf{n}) \int_0^{+\infty} d\nu \int_0^{+\infty} \hat{k}_\nu \exp(-\hat{k}_\nu \sigma) d\sigma \left\{ \begin{aligned} & \left[ \sum_{s=1}^{N_s} P_S(s) \left[ P_{0,\nu} \right. \right. \\ & \left. \left. \left\{ \sum_{j=1}^{Nt(s)} P_{J,\nu}(j) \left( P_{a,\nu,j}[0] + (1 - P_{a,\nu,j}) L_\nu(\mathbf{x}_1, \omega) \right) \right\} \right] \right. \\ & \left. \left. + (1 - P_{0,\nu}) \int_{4\pi} \phi_i(\omega, \omega') L_\nu(\mathbf{x}_1, \omega') d\omega(\omega') \right] \right] \mathcal{H}(\mathbf{x}_1 \in \text{atmosphere}) \\ & + L_\nu^{eq}(T_{sun}) \mathcal{H}(\mathbf{x}_1 \in \text{ground}) \\ & + [0] \mathcal{H}(\mathbf{x}_1 \in \text{space}) \end{aligned} \right\}$$

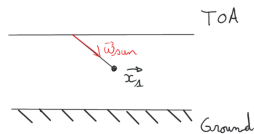


# Transfert radiatif et Monte-Carlo : expression du flux au sol

- Le flux moyen au sol en  $W/m^2$  s'exprime comme :

$$\varphi(\mathbf{x}_{sol}) = \int d\omega_{sun} (\omega \cdot \mathbf{n}) \int_0^{+\infty} d\nu L_\nu(\mathbf{x}_0, \omega)$$

$$\varphi(\mathbf{x}_{sol}) = \int d\omega_{sun} (\omega \cdot \mathbf{n}) \int_0^{+\infty} d\nu \int_0^{+\infty} \hat{k}_\nu \exp(-\hat{k}_\nu \sigma) d\sigma \left\{ \begin{aligned} & \left[ \sum_{s=1}^{N_s} P_S(s) \left[ P_{0,\nu} \right. \right. \\ & \left. \left. \left\{ \sum_{j=1}^{Nt(s)} P_{J,\nu}(j) \left( P_{a,\nu,j}[0] + (1 - P_{a,\nu,j}) L_\nu(\mathbf{x}_1, \omega) \right) \right\} \right. \right. \\ & \left. \left. + (1 - P_{0,\nu}) \int_{4\pi} \phi_i(\omega, \omega') L_\nu(\mathbf{x}_1, \omega') d\omega(\omega') \right] \right] \mathcal{H}(\mathbf{x}_1 \in \text{atmosphere}) \\ & + L_\nu^{eq}(T_{sun}) \mathcal{H}(\mathbf{x}_1 \in \text{ground}) \\ & \left. / + [0] \mathcal{H}(\mathbf{x}_1 \in \text{space}) \right\}$$

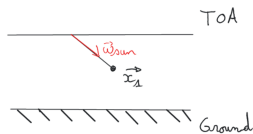


# Transfert radiatif et Monte-Carlo : expression du flux au sol

- Le flux moyen au sol en  $W/m^2$  s'exprime comme :

$$\varphi(\mathbf{x}_{sol}) = \int d\omega_{sun} (\omega \cdot \mathbf{n}) \int_0^{+\infty} d\nu L_\nu(\mathbf{x}_0, \omega)$$

$$\varphi(\mathbf{x}_{sol}) = \int d\omega_{sun} (\omega \cdot \mathbf{n}) \int_0^{+\infty} d\nu \int_0^{+\infty} \hat{k}_\nu \exp(-\hat{k}_\nu \sigma) d\sigma \left\{ \begin{aligned} & \left[ \sum_{s=1}^{N_s} P_S(s) \left[ P_{0,\nu} \right. \right. \\ & \left. \left. \left\{ \sum_{j=1}^{Nt(s)} P_{J,\nu}(j) \left( P_{a,\nu,j}[0] + (1 - P_{a,\nu,j}) L_\nu(\mathbf{x}_1, \omega) \right) \right\} \right. \right. \\ & \left. \left. + (1 - P_{0,\nu}) \int_{4\pi} \phi_i(\omega, \omega') L_\nu(\mathbf{x}_1, \omega') d\omega(\omega') \right] \right] \mathcal{H}(\mathbf{x}_1 \in \text{atmosphere}) \\ & + L_\nu^{eq}(T_{sun}) \mathcal{H}(\mathbf{x}_1 \in \text{ground}) \\ & + [0] \mathcal{H}(\mathbf{x}_1 \in \text{space}) \end{aligned} \right\}$$



# Transfert radiatif et Monte-Carlo : expression du flux au sol

- Le flux moyen au sol en  $W/m^2$  s'exprime comme :

$$\varphi(\mathbf{x}_{sol}) = \int d\omega_{sun} (\omega \cdot \mathbf{n}) \int_0^{+\infty} d\nu L_\nu(\mathbf{x}_0, \omega)$$

$$\varphi(\mathbf{x}_{sol}) = \int d\omega_{sun} (\omega \cdot \mathbf{n}) \int_0^{+\infty} d\nu \int_0^{+\infty} \hat{k}_\nu \exp(-\hat{k}_\nu \sigma) d\sigma \left\{ \right.$$

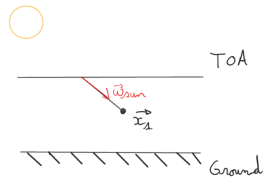
$$\left[ \sum_{s=1}^{N_s} P_S(s) \left[ P_{0,\nu} \right. \right.$$

$$\left. \left. \left\{ \sum_{j=1}^{Nt(s)} P_{J,\nu}(j) \left( P_{a,\nu,j}[0] + (1 - P_{a,\nu,j}) L_\nu(\mathbf{x}_1, \omega) \right) \right\} \right. \right.$$

$$\left. \left. + (1 - P_{0,\nu}) \int_{4\pi} \phi_i(\omega, \omega') L_\nu(\mathbf{x}_1, \omega') d\omega(\omega') \right] \right] \mathcal{H}(\mathbf{x}_1 \in \text{atmosphere})$$

$$+ L_\nu^{eq}(T_{sun}) \mathcal{H}(\mathbf{x}_1 \in \text{ground})$$

$$\left. \left. + [0] \mathcal{H}(\mathbf{x}_1 \in \text{space}) \right\} \right.$$



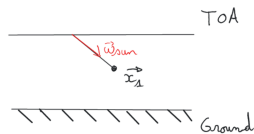
Choix de l'espèce moléculaire en  $\mathbf{x}_1$  ( $H_2O$ ,  $O_3$ , ...)

# Transfert radiatif et Monte-Carlo : expression du flux au sol

- Le flux moyen au sol en  $W/m^2$  s'exprime comme :

$$\varphi(\mathbf{x}_{sol}) = \int d\omega_{sun} (\omega \cdot \mathbf{n}) \int_0^{+\infty} d\nu L_\nu(\mathbf{x}_0, \omega)$$

$$\varphi(\mathbf{x}_{sol}) = \int d\omega_{sun} (\omega \cdot \mathbf{n}) \int_0^{+\infty} d\nu \int_0^{+\infty} \hat{k}_\nu \exp(-\hat{k}_\nu \sigma) d\sigma \left\{ \begin{array}{l} \left[ \sum_{s=1}^{N_s} P_S(s) \left[ P_{0,\nu} \right. \right. \\ \left. \left. \left\{ \sum_{j=1}^{Nt(s)} P_{J,\nu}(j) \left( P_{a,\nu,j}[0] + (1 - P_{a,\nu,j}) L_\nu(\mathbf{x}_1, \omega) \right) \right\} \right. \right. \\ \left. \left. + (1 - P_{0,\nu}) \int_{4\pi} \phi_i(\omega, \omega') L_\nu(\mathbf{x}_1, \omega') d\omega(\omega') \right] \right] \mathcal{H}(\mathbf{x}_1 \in \text{atmosphere}) \\ + L_\nu^{eq}(T_{sun}) \mathcal{H}(\mathbf{x}_1 \in \text{ground}) \\ + [0] \mathcal{H}(\mathbf{x}_1 \in \text{space}) \end{array} \right\}$$





# Transfert radiatif et Monte-Carlo : expression du flux au sol

- Le flux moyen au sol en  $W/m^2$  s'exprime comme :

$$\varphi(\mathbf{x}_{sol}) = \int d\omega_{sun} (\omega \cdot \mathbf{n}) \int_0^{+\infty} d\nu L_\nu(\mathbf{x}_0, \omega)$$

$$\varphi(\mathbf{x}_{sol}) = \int d\omega_{sun} (\omega \cdot \mathbf{n}) \int_0^{+\infty} d\nu \int_0^{+\infty} \hat{k}_\nu \exp(-\hat{k}_\nu \sigma) d\sigma \left\{ \right.$$

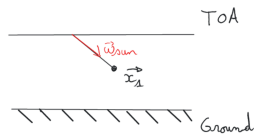
$$\left[ \sum_{s=1}^{N_s} P_S(s) \left[ P_{0,\nu} \right. \right.$$

$$\left. \left. \left. \left. \sum_{j=1}^{Nt(s)} P_{J,\nu}(j) \left( P_{a,\nu,j}[0] + (1 - P_{a,\nu,j}) L_\nu(\mathbf{x}_1, \omega) \right) \right) \right] \right\}$$

$$+ (1 - P_{0,\nu}) \int_{4\pi} \phi_i(\omega, \omega') L_\nu(\mathbf{x}_1, \omega') d\omega(\omega') \left. \right] \mathcal{H}(\mathbf{x}_1 \in \text{atmosphere})$$

$$+ L_\nu^{eq}(T_{sun}) \mathcal{H}(\mathbf{x}_1 \in \text{ground})$$

$$+ [0] \mathcal{H}(\mathbf{x}_1 \in \text{space}) \left. \right\}$$

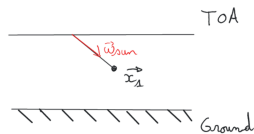


# Transfert radiatif et Monte-Carlo : expression du flux au sol

- Le flux moyen au sol en  $W/m^2$  s'exprime comme :

$$\varphi(\mathbf{x}_{sol}) = \int d\omega_{sun} (\omega \cdot \mathbf{n}) \int_0^{+\infty} d\nu L_\nu(\mathbf{x}_0, \omega)$$

$$\varphi(\mathbf{x}_{sol}) = \int d\omega_{sun} (\omega \cdot \mathbf{n}) \int_0^{+\infty} d\nu \int_0^{+\infty} \hat{k}_\nu \exp(-\hat{k}_\nu \sigma) d\sigma \left\{ \begin{array}{l} \left[ \sum_{s=1}^{N_s} P_S(s) \left[ P_{0,\nu} \right. \right. \\ \left. \left. \left\{ \sum_{j=1}^{Nt(s)} P_{J,\nu}(j) \left( P_{a,\nu,j}[0] + (1 - P_{a,\nu,j}) L_\nu(\mathbf{x}_1, \omega) \right) \right\} \right. \right. \\ \left. \left. + (1 - P_{0,\nu}) \int_{4\pi} \phi_i(\omega, \omega') L_\nu(\mathbf{x}_1, \omega') d\omega(\omega') \right] \right] \mathcal{H}(\mathbf{x}_1 \in \text{atmosphere}) \\ \left. + L_\nu^{eq}(T_{sun}) \mathcal{H}(\mathbf{x}_1 \in \text{ground}) \right. \\ \left. + [0] \mathcal{H}(\mathbf{x}_1 \in \text{space}) \right\}$$





- Résultats dans l'infrarouge :  $[100, 2500] \text{ cm}^{-1}$

H<sub>2</sub>O, CO<sub>2</sub>, O<sub>3</sub>

	Flux MC (W/m <sup>2</sup> )	Reference	time	Realization number
TOA				
1	293.243 + / - 0.04586	293.2	30 min 42 secs	6502400
2	284.416 + / - 0.04443	284.37	32 min 17 secs	6502400
Ground				
	348.547 + / - 1.39395	347.4	1 sec 77 msec	12000

<sup>1</sup> Sans le continuum de vapeur d'eau

<sup>2</sup> Avec le continuum de vapeur d'eau

- Résultats dans le visible :  $[13000, 25000] \text{ cm}^{-1}$

H<sub>2</sub>O, CO<sub>2</sub>, O<sub>2</sub>, continuum de vapeur d'eau et diffusion de Rayleigh

	Flux MC (W/m <sup>2</sup> )	Reference	time	Realization number
Ground				
CO <sub>2</sub> = 300ppm	TODO			
CO <sub>2</sub> = 600ppm,	TODO			

- Forçage radiatif : différence de flux en TOA pour un changement du champs de concentration de CO<sub>2</sub> intégré sur toute la Terre et durant une période de 100 ans.
  - Exemple de résultat pour une durée de un mois intégré sur tout le domaine infrarouge et sur toute la Terre :

	Mean Flux MC (W/m <sup>2</sup> )	time	Realization number
CO <sub>2</sub> = 280ppm	257.948 + / - 0.20837	10 mins 29 secs	256000
CO <sub>2</sub> = 2*280ppm	255.36 + / - 0.20727	6 mins 29 secs 708	256000

↪ Forçage radiatif estimé à 2.588 + / - 0.2939 W/m<sup>2</sup>.

- Calcul de sensibilités (thèse en cours de Nada Chems Mourtaday, LAPLACE):
  - Sensibilité géométriques : Influence d'un nuage sur le flux au sol.
  - Sensibilités paramétriques : Influence d'un changement du champs de concentration des gaz ou aérosol sur le flux au sol.

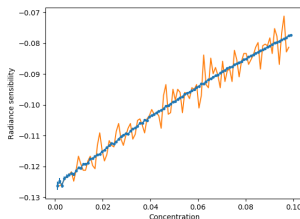


Figure: Sensibilité de la luminance à la concentration